

ВОЗДЕЙСТВИЕ СТОЯЧЕЙ ВОЛНЫ НА НЕРАВНОВЕСНУЮ ТЕПЛОФИЗИЧЕСКУЮ СИСТЕМУ С ИСТОЧНИКОМ ЭНЕРГИИ

О.Н. Шабловский, Д.Г. Кроль

Гомельский государственный технический университет, *shablovsky-on@yandex.ru*

Введение. Теплофизические аспекты проблемы формирования периодических структур при взрывной кристаллизации аморфных пленок [1,2] рассмотрены в работах [3, 4]. Установлено, что в среде, обладающей локально-неравновесными свойствами, пространственно-периодические структуры (полосы, ячейки, решетки и др.) образуются под влиянием конкуренции между температурными областями с тепловыделением и теплоотдачей. Примером такой конкуренции является выделение кристаллизационного тепла на фазовой границе и теплоотдача в подложку, на которую напылена аморфная пленка. Важным параметром процесса служит температура $T = T_0$ при которой тепловыделение и теплоотдача уравниваются, т.е. взрывная кристаллизация прекращается. В данной работе рассматриваются локально-неравновесные свойства динамического внешнего воздействия на уже сформировавшиеся тепловые структуры. Изучаемая теплофизическая система содержит следующие элементы: 1) среда, обладающая локально-неравновесными тепловыми свойствами; 2) знакопеременный объемный источник энергии $q_v = q_v^1(T - T_0)$, $q_v^1 > 0$, $q_v^1, T_0 - \text{const}$; 3) внешний по отношению к среде источник энергии W , действующий на линии $x = 0$ и возбуждающий стоячую волну. Рассматриваем интересный в практическом отношении случай, когда вне линии $x = 0$ двухмерное температурное поле среды (материала) представляет собой в исходном состоянии стационарную пространственно-периодическую структуру. Цели исследования: 1) проанализировать локально-неравновесные процессы воздействия стоячей волны на материал; 2) изучить морфологические свойства поля изотерм.

Релаксационная модель Максвелла переноса тепла [5] в плоском двухмерном случае имеет вид:

$$\rho c_p \frac{\partial T}{\partial t} + \frac{\partial q_x}{\partial x} + \frac{\partial q_y}{\partial y} = q_v \quad (1)$$

$$q_x + \gamma \frac{\partial q_x}{\partial t} = -\lambda \frac{\partial T}{\partial x}, \quad q_y + \gamma \frac{\partial q_y}{\partial t} = -\lambda \frac{\partial T}{\partial y}, \quad \lambda, c, \gamma - \text{const.} \quad (2)$$

Производство энтропии подсчитываем по формулам [5, 6]:

$$\sigma = \sigma_i + \sigma_e, \quad (3)$$

$$\sigma_i = \frac{q_x^2 + q_y^2}{\lambda T^2}, \quad \sigma_e = \frac{q_v}{\Theta}, \quad \frac{1}{\Theta} = \frac{1}{T} \left(1 + \frac{\gamma(q_x^2 + q_y^2)}{\lambda c T^2} \right).$$

где σ_i - производство энтропии за счет внутренних необратимых процессов, σ_e - производство энтропии за счет энергообмена с внешней средой; $\mathbf{q}(q_x, q_y)$ - вектор

удельного теплового потока. Остальные обозначения такие: T - температура; Θ - неравновесная температура; c - объемная теплоемкость; λ - коэффициент теплопроводности; x, y - прямоугольные декартовы координаты; t - время; q_v - мощность внутренних источников тепла.

Систему уравнений теплопереноса (1), (2) преобразуем к одному гиперболическому уравнению

$$c \left(\frac{\partial \tau}{\partial t} + \gamma \frac{\partial^2 \tau}{\partial t^2} \right) = \lambda \left(\frac{\partial^2 \tau}{\partial x^2} + \frac{\partial^2 \tau}{\partial y^2} \right) + q_v + \gamma \frac{\partial q_v}{\partial t}, \quad (4)$$

где $\tau = T - T_0$ есть отклонение температуры от ее равновесного значения T_0 .

Возбуждение стоячей волны в пространственно-периодическом тепловом поле на основе параболического уравнения теплопроводности рассмотрено в [7]. Для локально-неравновесной среды в работе [8] изучены тепловые режимы, при которых существуют стоячие волны температуры и теплового потока.

Для размерных и безразмерных уравнений применяем одинаковую форму записи, полагая

$$\lambda \rightarrow \bar{\lambda} \lambda', c \rightarrow \bar{c} c', \gamma \rightarrow \gamma', q_v \rightarrow \bar{q}_v q'_v, T \rightarrow T', \sigma \rightarrow \sigma', \\ q_x \rightarrow q'_x, q_y \rightarrow q'_y, t \rightarrow t', x \rightarrow x', y \rightarrow y',$$

где штрихом отмечены безразмерные величины. Безразмерные комплексы

$$\bar{\lambda} = \frac{\lambda_b T_b}{x_b q_b}, \quad \bar{c} = \frac{c_b T_b x_b}{t_b q_b}, \quad \bar{q}_v = (q_v)_b \frac{x_b}{q_b}$$

составлены из масштабов величин (они отмечены индексом b), применяемых для обезразмеривания: $c = c' c_b$, $\lambda = \lambda' \lambda_b$, $\gamma = \gamma' t_b$, $T = T' T_b$, $\sigma = \sigma' \sigma_b$, $q_x = q'_x q_b$, $q_y = q'_y q_b$,

$$q_v = q'_v (q_v)_b, \quad x = x' x_b, \quad y = y' y_b, \quad t = t' t_b, \quad q_b = \lambda_b T_b / x_b, \quad (q_v)_b = \lambda_b T_b / x_b^2, \quad \sigma_b = q_b^2 / (\lambda_b T_b^2).$$

Все вычисления выполнены в безразмерных переменных при $\bar{\lambda} = 1$, $\bar{c} = 1$, $\bar{q}_v = 1$, $\lambda' = 1$, $c' = 1$. Далее штрих над безразмерными величинами не пишем.

Стоячая волна в неравновесном тепловом поле. Решение уравнения (4) представим в виде

$$\tau(x, y, t) = \tau_s(x, y) + \tau_{nst}(x, y, t), \quad (5)$$

где $\tau_s(x, y)$ - стационарная часть решения, относящаяся к установившейся во времени ($t \rightarrow \infty$) температуре; $\tau_{nst}(x, y, t)$ - нестационарное решение, учитывающее время релаксации теплового потока и определяющее волновые свойства температурного поля. В качестве примера стационарной периодической структуры берем семейство прямоугольников:

$$\tau_s(x, y) = D \cos(h_1 x) \sin(h_2 y), \quad (6) \\ h_1^2 + h_2^2 = q_v^1 / \lambda; \quad h_1, h_2, D - \text{const.}$$

Эти прямоугольники образованы линиями $h_1 x = 2\pi n_0 \pm (\pi/2)$, $h_2 y + \beta = \pi n_0$, где $n_0 = 0, \pm 1, \pm 2, \dots$ - любое целое число. Очевидно, что в частном случае $h_1 = 0$ решение (6) дает зависимость

$$\tau_s(x, y) = D \sin(h_2 y), \quad (7)$$

и нейтральная изотерма $T = T_0$ образует семейство полос $h_2 y = \pi n_0$. Полосчатую структуру (7) рассматриваем как отдельный вариант, потому что он важен в практическом отношении и заключает в себе многие существенные свойства изучаемого процесса.

Нестационарная составляющая температуры представляется выражением

$$\tau_{nst}(x, y, t) = A(x, t) \sin(hy), \quad h \equiv \text{const}, \quad (8)$$

где $A(x, t)$ должна удовлетворять уравнению

$$(c - \gamma q_v^1) \frac{\partial A}{\partial t} + c\gamma \frac{\partial^2 A}{\partial t^2} = \lambda \frac{\partial^2 A}{\partial x^2} + A(q_v^1 - \lambda h^2)$$

Строим решение

$$A(x, t) = A_1 \exp(-rx) [\sin(\omega t - kx) + B_1 \cos(\omega t - kx)], \quad (9)$$

где A_1, B_1 - произвольные постоянные, и находим

$$\omega^2 = \frac{1}{c\gamma} [\lambda(k^2 - r^2) + \lambda h^2 - q_v^1], \quad k = \frac{\omega(c - \gamma q_v^1)}{2\lambda r}. \quad (10)$$

Не нарушая качественных свойств решения (9), примем далее, что $q_v^1 = \lambda h^2$. Таким образом, частота колебаний по времени равна

$$\omega = 2\lambda r^2 / [(c - \gamma q_v^1)^2 - 4\lambda r^2 c\gamma]^{1/2},$$

причем параметры процесса должны удовлетворять неравенству:

$$(c - \gamma q_v^1)^2 > 4\lambda r^2 c\gamma. \quad (11)$$

Физическая интерпретация решения (5), (8) состоит в следующем. Температурное поле располагается в двух областях. Область-1 это правая полуплоскость $x \geq 0, r > 0$. Область-2 это левая полуплоскость $x \leq 0, r < 0$. Линию $x = 0$ принимаем за разрыв теплового поля, на котором действует внешний для данной среды источник энергии W . На таком разрыве должно быть выполнено динамическое условие совместности [6], являющееся следствием интегрального закона сохранения энергии:

$$W = q_x^{(1)} - q_x^{(2)},$$

где W – поверхностная плотность распределения на разрыве притока энергии; q_x – нормальная к разрыву составляющие вектора теплового потока. По мере удаления от сильного разрыва получаем $x \rightarrow \pm\infty, \tau_{nst} \rightarrow 0$.

В классе решений (5), (8) компоненты вектора теплового потока $\mathbf{q}(q_x, q_y)$ такие

$$q_x = -\lambda \frac{\partial \tau_s}{\partial x} + q_x^{nst}, \quad q_y = -\lambda \frac{\partial \tau_s}{\partial y} + q_y^{nst},$$

где q_x^{nst}, q_y^{nst} соответствуют нестационарной части решения (5) и определяются законом Максвелла (2). Отсюда получаем

$$q_x^{nst} \Big|_{x=0, t \rightarrow \infty} = \frac{\lambda A_1 \sin(hy)}{(\omega^2 \gamma^2 + 1)} [D_1 \cos(\omega t) + D_2 \sin(\omega t)] \quad (12)$$

$$D_1 = (k - \gamma r \omega)^{-1} [(k - \gamma r \omega)^2 + (r + \gamma k \omega)^2], \quad D_2 = r + \gamma k \omega - B_1 (k - \gamma r \omega);$$

$$q_y^{nst} \Big|_{x=0, t \rightarrow \infty} = -\lambda A_1 A_2 h \frac{\cos(hy)}{(\omega^2 \gamma^2 + 1)} \sin(\omega t + \delta), \quad (13)$$

$$A_2 = (C_1^2 + C_2^2)^{1/2}, \quad \tan \delta = C_1 / C_2, \quad C_1 = B_1 - \gamma \omega, \quad C_2 = 1 + \gamma \omega B_1.$$

Эти выражения характеризуют установившиеся во времени ($t \rightarrow \infty, \exp(-t/\gamma) \rightarrow 0$) колебания теплового потока при $x = 0$. Далее для более выразительной записи волновой части решения возьмем частное значение константы B_1 , а именно: $B_1 = (r + \gamma k \omega) / (k - \gamma r \omega)$. Тогда формулы (12), (13) представляют две встречные волны:

$$q_x^{nst} \Big|_{x=0} = \frac{\lambda A_1 [(k - \gamma r \omega)^2 + (r + \gamma k \omega)^2]}{2(\omega^2 \gamma^2 + 1)(k - \gamma r \omega)} [\sin(hy + \omega t) + \sin(hy - \omega t)] \quad (14)$$

$$q_y^{nst} \Big|_{x=0} = \frac{\lambda A_1 A_2 h}{2(\omega^2 \gamma^2 + 1)} [\sin(hy - \omega t - \delta) - \sin(hy + \omega t + \delta)] \quad (15)$$

Видим, что существует сдвиг δ фазы колебаний продольного q_y^{nst} и поперечного q_x^{nst} к разрыву тепловых потоков: $\tan \delta = r / k$.

На основе оценки (11) запишем для параметра затухания r следующее выражение: $r^2 = \varepsilon^2 (c - \gamma q_v^1)^2 / (4\lambda c \gamma)$, где ε^2 - свободный параметр из интервала (0,1). Отсюда следует, что

$$\omega^2 = (4\lambda^2 r^4) / [(1 - \varepsilon^2)(c - \gamma q_v^1)^2]. \quad (16)$$

Скорость распространения тепловых возмущений есть $w = (\lambda / c \gamma)^{1/2}$. Квадраты тепловых чисел Маха, соответствующих осям x и y , равны $M_x = v_x^2 / w^2$, $M_y = v_y^2 / w^2$, где $v_x^2 = \omega^2 / k^2$, $v_y^2 = \omega^2 / h^2$. Отсюда находим, применяя (10) и (16): $M_x^2 = \varepsilon^2$, $0 < \varepsilon^2 < 1$. Значит, вдоль оси x , ортогональной сильному разрыву, процесс «дозвуковой». На разрыве $x = 0$ для стоячей волны (14), (15) получаем

$$M_y^2 = [\varepsilon^4 (1 - \bar{\gamma})^2] / [4\bar{\gamma} (1 - \varepsilon^2)], \quad (17)$$

где $\bar{\gamma} = \gamma q_v^1 / c$ - безразмерный параметр неравновесности системы «среда – источник энергии». На основе формулы (16) безразмерную частоту возбуждающих колебаний можно записать так:

$$\bar{\omega} = \omega \gamma, \quad \bar{\omega}^2 = [\varepsilon^4 (1 - \bar{\gamma})^2] / [4(1 - \varepsilon^2)],$$

и тогда находим, что

$$M_y^2 = \bar{\omega}^2 / \bar{\gamma}. \quad (18)$$

Волновой процесс вдоль линии сильного разрыва «сверхзвуковой», если $M_y^2 > 1$:

$$[\varepsilon^4/(1-\varepsilon^2)] > [4\bar{\gamma}/(1-\bar{\gamma})^2]$$

Такая ситуация наблюдается, в частности, если $\varepsilon^2 = 1 - 0, \bar{\gamma} = +0$. Это означает, что вдоль оси x процесс околосвуковой: число M_x^2 находится в левой окрестности единицы, а неравновесность выражена слабо. Волновой процесс вдоль сильного разрыва дозвуковой, если $0 < M_y^2 < 1$. Это выполнено, например, если $\varepsilon^2 = +0, \bar{\gamma} = 1 \pm 0$, т.е. имеем отчетливо выраженную неравновесность системы, а число M_x^2 находится в правой окрестности нуля.

Таким образом, в данном двумерном процессе величина M_y^2 , см. (17) и (18), мультипликативным образом зависит от двух факторов: 1) от характера возбуждения колебаний вдоль оси x - количественной характеристикой здесь служит дробь $\varepsilon^4/(1-\varepsilon^2)$; 2) от степени неравновесности системы, т.е. от величины $(1-\bar{\gamma})^2/\bar{\gamma}$.

Морфологические свойства поля изотерм. Типичные изображения поля изотерм для «прямоугольников» вида (6) представлены на рис. 1. Данные изотермы построены в правой полуплоскости $x \geq 0$ при $t = \pi/(2\omega)$, что соответствует одной четверти периода колебаний по времени. Важным параметром задачи является безразмерная частота внешнего теплового воздействия $\Omega = \omega c/q_0^1$; ясно, что $\Omega\bar{\gamma} = \bar{\omega}$. Основным элементом полученных периодических структур является нейтральная изотерма $\tau = 0$. Обращает на себя внимание «шахматный» порядок расположения изотерм. Динамические закономерности воздействия стоячей волны на «прямоугольники» существенным образом зависят от количественного соотношения между частотой Ω и параметром неравновесности $\bar{\gamma}$, см. рис. 1.

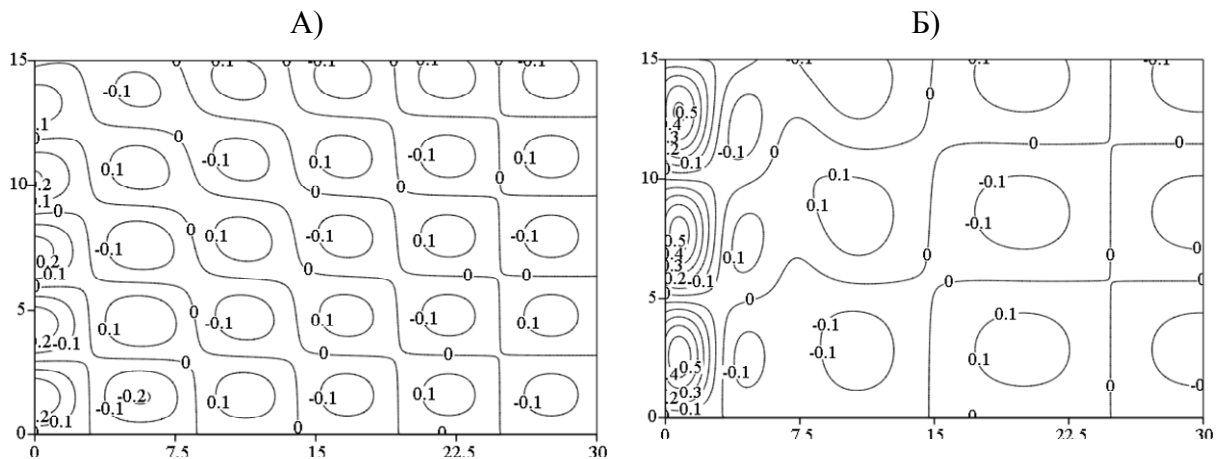


Рис. 1. Типичное промежуточное состояние $[t = \pi/(2\omega)]$ линий изотерм

при воздействии стоячей волны на стационарное тепловое поле

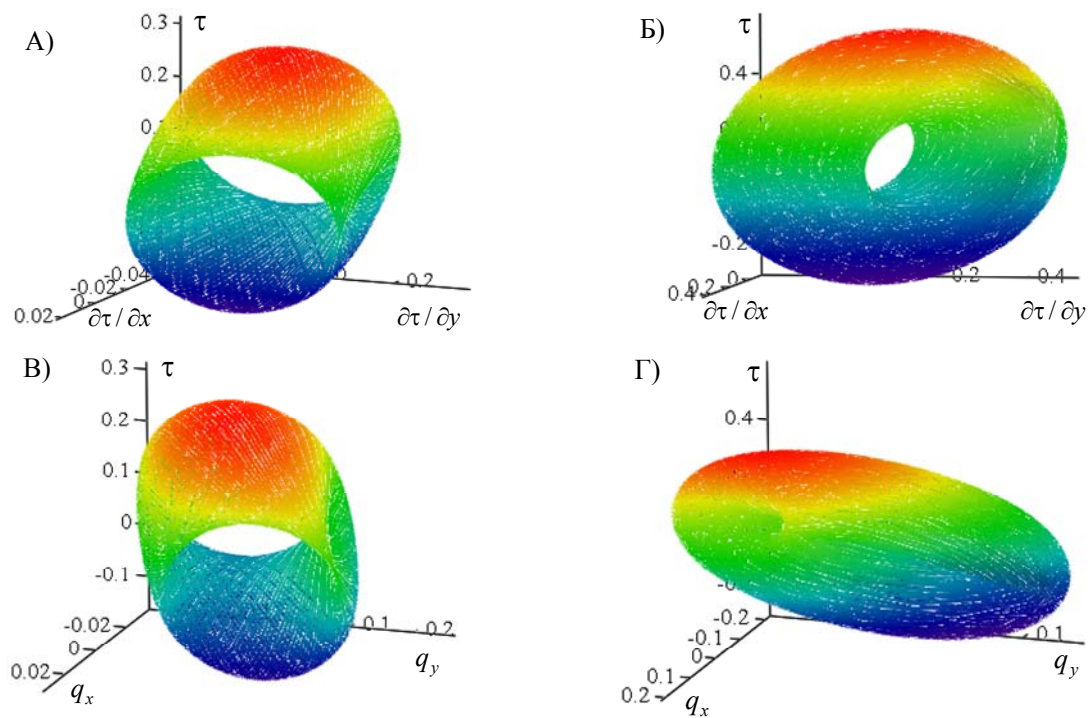


Рис. 2. Фазовый портрет теплофизической системы

На рисунках 1 и 2 левый столбец относятся к низкочастотному ($0 < \Omega < 1$) воздействию, правый столбец – к высокочастотному ($\Omega > 1$). Представленные графики получены при следующих значениях входных параметров: левый столбец - $r = 0,1425$; $\bar{\omega} = 0,4335$; $k = -0,4564$; $\Omega = 0,3335$; $\varepsilon = 0,95$; $\bar{\gamma} = 1,3$; правый столбец - $r = 0,285$; $\bar{\omega} = 0,8671$; $k = 0,9127$; $\Omega = 2,1677$; $\varepsilon = 0,95$; $\bar{\gamma} = 0,4$. Фазовые портреты изученных теплофизических систем построены двумя способами: 1) в пространстве «температура – градиенты температуры» $(\partial\tau/\partial x, \partial\tau/\partial y, \tau)_{x=0, y=y_j}$; 2) в пространстве «температура – тепловой поток» $(q_x, q_y, \tau)_{x=0, y=y_j}$. Индексом j отмечены значения функций при $x = 0$ на волне $y_j = (\omega t)/h$, $t \geq 0$. Расчеты показали, что для этих пространств фазовые портреты обладают одинаковыми качественными свойствами. Фазовая траектория – незамкнутая линия, располагающаяся на тороидальной поверхности, если отношение частот h_1/h_2 [см. (6)] есть число иррациональное или трансцендентное.

Заключение. Изучены локально-неравновесные процессы волнового воздействия на материал, стационарное тепловое состояние которого определяется периодическими структурами типа «прямоугольники» (6) и «полосы» (7). Обнаружен мультипликативный характер взаимного влияния двух факторов: характера возбуждения колебаний и степени неравновесности системы «среда – источник энергии». Построен трехмерный фазовый портрет этой теплофизической системы.

Список литературы

1. Александров Л.Н. Кинетика кристаллизации и перекристаллизации полупроводниковых пленок / Л.Н. Александров. — Новосибирск: Наука, 1985. — 224 с.
2. Grigoropoulos C. Explosive crystallization in the presence of melting / C. Grigoropoulos [et. al.] // *Physical Review B*. — 2006. — Vol. 73. P. 184125-1 – 184125-15.
3. Шабловский О.Н. Формирование периодических тепловых структур при взрывной кристаллизации аморфных пленок / О.Н. Шабловский, Д.Г. Кроль // *Тепловые процессы в технике*. — 2009. — № 5. С. 178 – 182.
4. Шабловский О. Н. Неравновесные тепловые структуры в средах с источниками энергии / О.Н. Шабловский, Д.Г. Кроль Гомель: ГГТУ им. П.О. Сухого, — 2013. 208 с.
5. Жоу, Д., Расширенная необратимая термодинамика / Д. Жоу, Х. Касас – Баскес, Дж. Лебон. — Москва – Ижевск: НИЦ «Регулярная и хаотическая динамика», 2006. — 528 с.
6. Седов Л.И. Механика сплошной среды / Л.И. Седов. — М.: Наука, 1973. — Т.1. 536 с.
7. Шабловский О.Н. Возбуждение стоячей волны в пространственно-периодическом тепловом поле / О.Н. Шабловский, Д.Г. Кроль // *Тепловые процессы в технике*. — 2015. — № 5. С. 222 – 226.
8. Шабловский О.Н. Стоячие волны и вынужденные тепловые колебания в локально-неравновесной среде с источником энергии / О.Н. Шабловский // *Вестник Московского государственного технологического университета «Станкин»*. — 2012. — № 3 (22). С. 115 – 119.